

# Поиск семантических дубликатов в коротких новостных сообщениях

## С.А. Фомин

бакалавр технических наук  
оператор лаборатории научно-исследовательского центра  
Академия гражданской защиты МЧС России  
Адрес: 141435, Московская область, г. Химки, мкр. Новогорск  
E-mail: sergio-dna@yandex.ru

## Р.Л. Белоусов

кандидат технических наук, научный сотрудник научно-исследовательского центра  
Академия гражданской защиты МЧС России  
Адрес: 141435, Московская область, г. Химки, мкр. Новогорск  
E-mail: romabel-87@mail.ru

### Аннотация

В статье рассмотрена задача, связанная с обнаружением публикаций, схожих по смыслу, а также публикаций, посвященных одному событию. Особенность решаемой задачи заключается в том, что в качестве публикаций рассматриваются короткие новостные сообщения, средняя длина которых составляет 40 слов. Для решения указанной задачи разработан алгоритм, в основу которого положена векторная модель семантики, где каждый текст рассматривается как точка в многомерном пространстве. Преобразование корпуса текстов в матрицу производится с помощью меры TF-IDF. Необходимо отметить, что даже для небольших корпусов (объемом порядка 800 сообщений) размерность векторного пространства может превосходить 2000 компонент, а в среднем размерность составляет около 8500 компонент. Для сокращения размерности пространства используется метод главных компонент. Его применение позволяет рационально сократить размерность пространства и оставить около трех процентов компонент от их исходного количества.

В сокращенном пространстве для объединения векторов в кластеры применяется агломеративная иерархическая кластеризация по алгоритму Ланса–Уильямса, который запускает процесс слияния кластеров. Слияние кластеров производится с помощью вычисления расстояния между ближайшими элементами этих кластеров. Процесс слияния кластеров прекращается в том случае, если расстояние между двумя кластерами превышает некоторое значение  $r$ .

При проведении численного эксперимента построена регрессионная модель, позволяющая найти наиболее подходящее значение параметра  $r$  для каждого корпуса сообщений. В качестве исходных данных для проведения численного эксперимента использовалась коллекция коротких новостей, общий объем которых составляет около 135 тысяч сообщений.

Разработанный алгоритм имеет достаточно высокие показатели качества, которые учитывают, с одной стороны, способность классифицировать пары текстовых сообщений как семантические дубликаты, а с другой — способность объединять найденные дубликаты в группы.

**Ключевые слова:** коллекция коротких текстовых сообщений, кластеризация текстов, нечеткие дубликаты, векторная модель семантики, нейронная сеть.

**Цитирование:** Fomin S.A., Belousov R.L. Detecting semantic duplicates in short news items // Business Informatics. 2017. No. 2 (40). P. 47–56. DOI: 10.17323/1998-0663.2017.2.47.56.

## Введение

В июне 2014 года был опубликован отчет «Российский медиа-ландшафт: телевидение, пресса, Интернет [1].

Особого внимания в этом отчете заслуживает тот факт, что примерно треть населения страны (34 %) использует Интернет для того, чтобы «следить за последними новостями» и 20 % – чтобы «разобраться, что происходит в стране и за рубежом».

Публичные коммерческие компании и государственные организации не оставляют без внимания приведенные цифры и факты, поскольку для создания позитивного имиджа и безупречной деловой репутации необходимо вести активную информационную политику в Интернете.

Для реализации этих потребностей создаются информационные системы, которые позволяют в автоматическом режиме производить сбор, обработку и анализ информации из различных источников. Одним из ключевых требований, предъявляемых к подобным системам, является их способность детектировать схожие публикации, а также публикации, посвященные одному событию (<http://www.mlg.ru/solutions/pr/analysis/>, <https://pressindex.ru/#technology>).

В данной статье рассматривается алгоритм поиска дубликатов в коротких новостных сообщениях, полученных из RSS-лент различных новостных порталов или иным способом.

Дубликатами являются одинаковые по смыслу сообщения, у которых может наблюдаться частичное или полное лексическое совпадение. Таким образом, дубликаты обладают семантической схожестью.

Задача поиска дубликатов, в том числе, в коротких текстовых документах не является новой, решению этой задачи посвящены работы [2–5].

### 1. Исходные данные

Короткие новостные сообщения, как правило, состоят из заголовка и лида – первого абзаца, отвечающего на вопросы «что произошло?», «когда произошло?» и «где произошло?».

Для проведения исследования использовалась коллекция коротких новостных сообщений за 20 дней. Объем коллекции составляет около 135 тысяч сообщений. Если сообщения относятся к одному и тому же событию, то они имеют одинаковую метку дубликата *dup*.

В таблице 1 представлены некоторые статистические характеристики собранной коллекции новостных сообщений.

Таблица 1.

Статистические характеристики коллекции новостных сообщений

Характеристика	Коллекция		
	Среднее	Медиана	Мода
Количество слов в сообщении	39,72	37	33
Количество уникальных слов в сообщении	33,77	32	30
Количество сообщений, имеющих одну и ту же метку дубликата <i>dup</i>	14,73	4	1
Количество сообщений в день	6725,95	6487	–

Средняя длина сообщений составляет 39,72 слов. В сообщениях возможны грамматические ошибки и опечатки. Поиск дубликатов ведется среди сообщений, опубликованных в один и тот же день. Структура и типы исходных данных представлены в таблице 2.

Таблица 2.

Структура и типы исходных данных

<i>id</i>	<i>head</i>	<i>description</i>	<i>time</i>	<i>dup</i>
hash	char	char	smalldatetime	char

Здесь *id* – уникальный идентификатор сообщения, *head* – заголовок сообщения, *description* – основная часть сообщения (лид), *time* – дата и время публикации сообщения, *dup* – метка дубликата. Если два сообщения имеют одинаковую метку *dup*, то они являются семантическими дубликатами.

Сообщения, которые имеют одну и ту же метку *dup*, образуют группы. В таблице 3 представлена информация о количестве таких групп. Следует обратить внимание на тот факт, что процент уникальных сообщений незначителен, таких сообщений всего 2385 из 135 тысяч. В коллекции имеется 108 групп, состоящих из 100 или более сообщений (самая крупная группа состоит из 1039 сообщений).

Таблица 3.

Группы сообщений

Количество сообщений в группе	Количество групп
1	2385
2	1026
3	649
4	522
5	433
6	351
7	278
8	275
9	229
10	195
> 10	2792

2. Постановка задачи

Проблеме обнаружения дубликатов в текстовых документах посвящена статья Ю.Г. Зеленкова и И.В. Сегаловича, где дается сравнительное исследование наиболее популярных современных методов обнаружения нечетких дубликатов [6]. Важно отметить, что нечеткие дубликаты не всегда семантически схожи, т.е. имеют один и тот же смысл. Кроме того, методы, которые позволяют обнаруживать нечеткие дубликаты, не всегда корректно работают на текстах малой длины.

Поэтому задача исследования сформулирована следующим образом: разработать алгоритм обнаружения семантических дубликатов в коротких новостных сообщениях и объединения их в группы.

3. Описание алгоритма

За основу реализации алгоритма взята идея векторной модели семантики, где каждый текст рассматривается как точка в многомерном пространстве. Близко лежащие друг к другу точки соответствуют семантически схожим документам [7]. Рассмотрим описание каждого этапа алгоритма и инструментов для их реализации.

**Первый этап – предобработка.** Сообщения, опубликованные за один день, агрегируются в корпуса меньших размеров. Затем все слова в сообщениях приводятся к нормальной форме с использованием морфологического анализатора Mystem (<https://tech.yandex.ru/mystem/>). Таким образом, исходная коллекция сообщений  $C$  может рассматриваться как объединение агрегированных корпусов  $c_i$ :

$$C = \bigcup_i c_i. \quad (1)$$

Исследуемая коллекция коротких новостных сообщений разбивается на 20 корпусов, поскольку содержит сообщения за 20 дней.

**Второй этап – построение векторной модели.** Сообщения из корпуса  $c_i$  необходимо преобразовать в матрицу. Для решения этой задачи применяется мера TF-IDF [8].

Для каждого слова  $t$  в конкретном сообщении  $d$  рассчитывается TF-мера по формуле (2):

$$tf(t, d) = \frac{n_i}{\sum_k n_k}, \quad (2)$$

где  $n_i$  – количество вхождений слова  $t$  в сообщение  $d$ ;

$\sum_k n_k$  – общее количество слов в сообщении  $d$ .

Для каждого слова  $t$  в корпусе текстов  $c_i$  рассчитывается IDF-мера по формуле (3):

$$idf(t, c_i) = \log \frac{|c_i|}{|(d_i \supset t)|}, \quad (3)$$

где  $|c_i|$  – количество сообщений в корпусе  $c_i$ ;

$|(d_i \supset t)|$  – количество сообщений, в которых встречается слово  $t$ .

Таким образом, каждое сообщение преобразуется в вектор, компонентами которого является мера TF-IDF каждого слова в этом сообщении. Для конкретного слова мера TF-IDF определяется как произведение мер TF и IDF.

Мера TF для слова определяется локально в каждом сообщении, а мера IDF – глобально для корпуса и не зависит от конкретного сообщения. Значение TF-IDF интерпретируется как «вклад» определенного слова в смысл сообщения.

Результат выполнения второго этапа представляется в виде матрицы (таблица 4), где каждый столбец определяет отдельное слово  $t$  из корпуса  $c_i$ , а каждая строка соответствуют некоторому сообщению  $d$ .

Таблица 4.

Матрица TF-IDF

	$t_1$	$t_2$	...	$t_m$
$d_1$	$tf - idf(d_1, t_1)$	0	...	$tf - idf(d_1, t_m)$
$d_2$	0	0	...	$tf - idf(d_2, t_2)$
...	...	...	...	...
$d_n$	$tf - idf(d_n, t_1)$	...	...	$tf - idf(d_n, t_m)$

При построении векторной модели игнорируются слова с высокой степенью встречаемости и такие, которые встречаются один раз. Для представленных исходных данных высокочастотными словами считаются такие, которые встречаются более чем в 90 % сообщений.

Для построения векторной модели использовалась библиотека машинного обучения scikit-learn (<http://scikit-learn.org/stable/>) для языка программирования Python.

**Третий этап – уменьшение числа векторных компонент.** Суть данного этапа сводится к сокращению размерности данных, поскольку в среднем каждая матрица, соответствующая корпусу сообщений  $c$ , содержит 8547 столбцов. Для сокращения количества столбцов в *таблице 4* с минимальной потерей информативности применяется метод главных компонент.

Каждый столбец *таблицы 4* – это переменная  $t_i$ , а строка – номер наблюдения. Все переменные  $t_i$  центрируются по формуле (4):

$$x_i = t_i - \bar{t}_i, \quad (4)$$

где  $\bar{t}_i$  – среднее значение переменной  $t_i$ .

Затем осуществляется переход к новым переменным – главным компонентам по формуле (5):

$$pc_j = \sum_i^m v_{ij} \cdot x_i, \quad (5)$$

при этом сумма квадратов весовых коэффициентов  $v_{ij}$  должна быть равна единице.

Новые переменные  $pc_1, pc_2, \dots, pc_m$  создаются таким образом, чтобы выполнялись следующие условия [9]:

♦ первая главная компонента  $pc_1$  имеет максимально возможную выборочную дисперсию  $sVar(pc_1)$ ;

♦ переменная  $pc_2$  некоррелирована с  $pc_1$  и имеет максимально возможную выборочную дисперсию  $sVar(pc_2)$ ;

♦ переменная  $pc_3$  некоррелирована с  $pc_1, pc_2$  и имеет максимально возможную выборочную дисперсию  $sVar(pc_3)$ ;

♦ и т.д.

Для уменьшения количества столбцов в *таблице 4* достаточно отбросить переменные, которые обладают наименьшими весами в линейной комбинации (5).

Количество столбцов в новой таблице рассчитывается как произведение количества столбцов в старой таблице и параметра  $m$ , где  $m \in (0, 1]$ . Уста-

новлено, что при изменении параметра  $m$  в интервале от 0,02 до 0,1 качество работы алгоритма изменяется незначительно. Значения  $m$  больше 0,1 увеличивают вычислительную сложность последующих операций. Наиболее рациональное значение параметра  $m$  равно 0,03.

Метод главных компонент (principal component analysis, PCA) также реализован в библиотеке машинного обучения scikit-learn.

**Четвертый этап – измерение схожести двух векторов.** После реализации третьего этапа в *таблице 4* сократилось количество столбцов, при этом количество строк осталось прежним. Каждая строка соответствует конкретному тексту (документу)  $d$  и рассматривается как вектор.

Самый популярный способ измерения схожести двух векторов – это нахождение косинуса угла между ними [7]. Чем больше значение косинуса, тем большей схожестью обладают векторы.

Для удобства дальнейшего использования алгоритмов кластеризации значение косинуса вычитается из единицы. В результате получается матрица косинусовых расстояний  $A$ :

$$a_{ij} = 1 - \cos(d_i, d_j). \quad (6)$$

Нахождение косинуса угла между двумя векторами реализовано в библиотеке анализа данных scikit-learn для языка программирования Python.

Необходимо отметить, что значение косинуса еще не позволяет судить о том, являются ли два сообщения семантическими дубликатами.

**Пятый этап – объединение векторов в кластеры.** Сообщения, которые попадают в одни и те же группы, семантически схожи, а соответствующие им векторы образуют кластеры.

Для объединения векторов  $d$  в кластеры применяется агломеративная иерархическая кластеризация. Суть такой кластеризации сводится к следующему. Сначала каждый вектор, соответствующий текстовому сообщению, рассматривается как отдельный кластер. Расстояния между этими кластерами содержатся в матрице  $A$ , полученной на четвертом этапе алгоритма.

Затем запускается процесс слияний. На каждой итерации вместо пары самых близких кластеров  $U$  и  $V$  образуется новый кластер  $W = U \cup V$ . Расстояние от нового кластера  $W$  до любого другого кластера  $S$  вычисляется по алгоритму Ланса–Вильямса [10]:

$$R(W, S) = \alpha_U R(U, S) + \alpha_V R(V, S) + \beta R(U, V) + \gamma |R(U, S) - R(V, S)|, \quad (7)$$

где расстояния  $R(U, S)$ ,  $R(V, S)$ ,  $R(U, V)$  и числовые параметры  $\alpha_U$ ,  $\alpha_V$ ,  $\beta$ ,  $\gamma$  вычисляются методом ближайших соседей [10]:

$$R(W, S) = \min_{w \in W, s \in S} \rho(w, s), \quad (8)$$
$$\alpha_U = \frac{1}{2}, \quad \alpha_V = \frac{1}{2}, \quad \beta = 0, \quad \gamma = -\frac{1}{2}.$$

Процесс слияния кластеров прекращается в том случае, если расстояние между двумя кластерами превышает некоторое значение параметра  $r$ .

Данный алгоритм агломеративной кластеризации реализован в библиотеке машинного обучения scikit-learn.

В представленном алгоритме агломеративная кластеризация позволяет найти пары семантических дубликатов и объединить их в группы.

#### 4. Численный эксперимент

В рамках численного эксперимента проводилась оценка качества работы алгоритма, которая учитывает, с одной стороны, способность классифицировать пары текстовых сообщений как семантические дубликаты, с другой – способность объединять найденные дубликаты в группы.

Для оценки способности алгоритма объединять сообщения в смысловые группы, т.е. оценки качества кластеризации, применяется исправленный индекс Ранда (Adjusted Rand Index, ARI) [11] и исправленный индекс взаимной информации (Adjusted Mutual Information, AMI) [12].

Индекс ARI и индекс AMI представляют собой меру согласия и меру сходства между двумя разбиениями множества объектов соответственно.

Классификация сообщений оценивалась по следующим метрикам: точность ( $P$ ), полнота ( $R$ ) и  $F$ -мера – гармоническое среднее между точностью и полнотой [13]. С помощью этих метрик определяется способность алгоритма классифицировать пары текстовых сообщений как семантические дубликаты. Для удобства восприятия результатов классификации цифрой 1 обозначим класс дубликатов, цифрой 0 – класс недубликатов.

Приведем пример. Если два сообщения, которые попали в одну и ту же группу, имеют одинаковую метку  $dup$  в таблице 2 (класс 1), то классификация проведена верно – обнаружены семантические ду-

бликаты (класс 1). Такая классификация называется истинно-положительной ( $TP$ ).

Другой пример. Два сообщения классифицированы как семантические дубликаты (класс 1), т.е. попали в одну группу. При этом эти сообщения имеют разные метки  $dup$  в таблице 2 (класс 0). Это свидетельствует о том, что алгоритм неверно классифицировал данную пару сообщений. Такое решение называется ложно-положительным ( $FP$ ).

Также выделяют истинно-отрицательную  $TN$  и ложно-отрицательную  $FN$  классификацию.

Приведенные типы классификации и выбранные метрики связаны соотношением (9):

$$P = \frac{TP}{TP + FP}, \quad R = \frac{TP}{TP + FN}, \quad F = 2 \frac{P \cdot R}{P + R}. \quad (9)$$

Рассмотренные метрики и индексы качества реализованы в библиотеке машинного обучения scikit-learn.

Главную роль в оценке качества работы алгоритма играет параметр кластеризации  $r$ , который определяется при проведении агломеративной кластеризации. Очевидно, что оптимальное значение параметра  $r$  зависит от индивидуальных особенностей корпуса коротких новостных сообщений. Оптимальным значением  $r$  для отдельного корпуса считается такое значение, которое максимизирует  $F$ -меру по классу 1. Следует отметить, что термин «оптимальность» используется в узком смысле. Это значит, что получаемые значения  $r$  оптимальны только для определенных параметров настройки алгоритма. Для других значений параметров настройки оптимальные значения могут изменяться.

Таким образом, практический интерес представляет ответ на вопрос: насколько сильно значение параметра  $r$  зависит от этих особенностей и можно ли его предсказать?

Первая стадия эксперимента заключалась в эмпирическом подборе такого значения параметра кластеризации  $r$ , при котором  $F$ -мера по классу 1 достигает своего наибольшего значения. Именно класс 1 определяет оценку качества алгоритма, поскольку в силу специфики исследуемых данных полнота и точность по классу 0 всегда близки к единице.

На рисунке 1 изображен график изменения значений выбранных метрик (точность, полнота,  $F$ -мера по классу 1) от значений параметра кластеризации  $r$  для случайного корпуса текстов из рассматриваемой коллекции. График обладает ярко выраженной дискретностью. Это связано с особенностями агломеративной кластеризации: поскольку каждое значение параметра  $r$  определяет расстояние между

кластерами, а количество кластеров ограничено, то значения метрик качества могут изменяться только на некотором ограниченном наборе значений параметра кластеризации  $r$ .

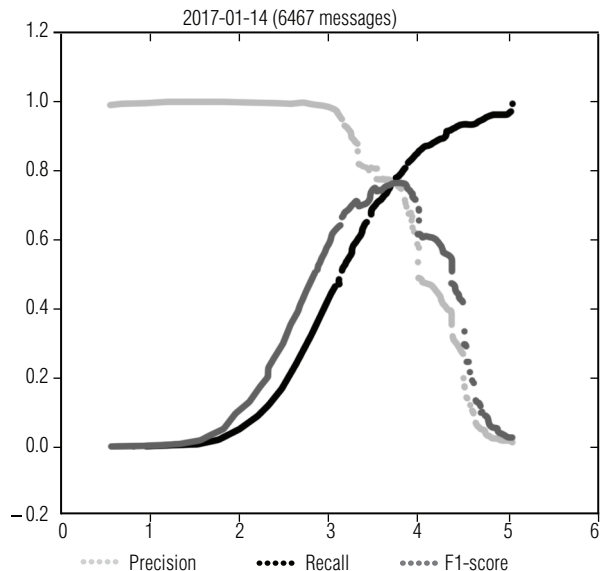


Рис. 1. Качество классификации (класс 1) пар сообщений корпуса

Таблица 5.

**Значения метрик**

$ c_i $	Качество алгоритма					$r$
	Классификация			Кластеризация		
	$P$	$R$	$F$	$ARI$	$AMI$	
855	0,93	0,75	0,83	0,83	0,83	2,05
2117	0,78	0,91	0,84	0,84	0,90	2,79
6056	0,66	0,67	0,67	0,67	0,76	3,59
7553	0,87	0,65	0,74	0,74	0,75	3,68
4142	0,69	0,83	0,75	0,75	0,769	3,88
2934	0,80	0,76	0,78	0,77	0,84	3,02
5093	0,75	0,77	0,76	0,76	0,82	3,44
6478	0,79	0,69	0,74	0,74	0,73	3,35
6869	0,72	0,76	0,74	0,74	0,83	3,89
6350	0,77	0,63	0,69	0,69	0,79	3,61
7097	0,73	0,72	0,73	0,73	0,77	3,78
6496	0,73	0,62	0,67	0,67	0,68	3,31
8366	0,71	0,73	0,72	0,72	0,81	4,04
11745	0,76	0,67	0,71	0,71	0,72	4,01
11106	0,79	0,75	0,77	0,77	0,79	4,20
7568	0,77	0,64	0,70	0,70	0,70	3,47
12221	0,76	0,74	0,75	0,75	0,80	4,46
10472	0,71	0,76	0,73	0,73	0,78	4,15
6467	0,76	0,78	0,77	0,77	0,83	3,72
4534	0,86	0,76	0,81	0,81	0,82	3,29

В таблице 5 приведены значения метрик классификации, значения метрик кластеризации для каждого корпуса  $c_i$  и соответствующие значения параметра  $r$ .

Анализ данных таблицы 5 позволяет сделать вывод, что если значение параметра кластеризации  $r$  подобрано правильно, то качество работы алгоритма можно оценить как хорошее. Однако значение параметра  $r$  может сильно варьироваться для каждого корпуса.

Вторая стадия эксперимента заключалась в поиске зависимости значения параметра кластеризации  $r$  от индивидуальных особенностей корпусов коротких новостных сообщений.

Индивидуальные особенности корпуса коротких новостных сообщений могут определяться значениями следующих параметров:

- $p_1$  – количество сообщений в корпусе;
- $p_2$  – средняя длина сообщений;
- $p_3$  – наиболее часто встречаемая (мода) длина сообщений;
- $p_4$  – среднее количество уникальных слов в сообщениях;
- $p_5$  – мода количества уникальных слов в сообщениях;
- $p_6$  – общее количество уникальных слов в корпусе;
- $p_7$  – количество столбцов матрицы TF-IDF (таблица 4);
- $p_8$  – параметр кластеризации  $r$ .

Среди значений параметров, полученных в ходе эксперимента, были обнаружены некоторые закономерности.

Например, с увеличением количества сообщений в корпусе  $p_1$  параметр кластеризации  $r$  в целом также растет (рисунок 2).

На рисунке 3 продемонстрирована тенденция роста оптимального значения параметра  $r$  при увеличении количества уникальных слов в корпусе  $p_6$ .

На рисунке 4 представлен график зависимости оптимального значения параметра  $r$  от  $p_7$  – количества столбцов в матрице TF-IDF.

Для прогнозирования значений параметра кластеризации  $r$  по значениям входных переменных  $p_1, \dots, p_7$  будут использованы две модели: модель множественной линейной регрессии и нейросетевая модель – многослойный перцептрон (MLP  $i-h-o$ ,  $hidden, output$ ), где  $i$  – размерность входного вектора значений,  $h$  – количество нейронов в скрытом слое,

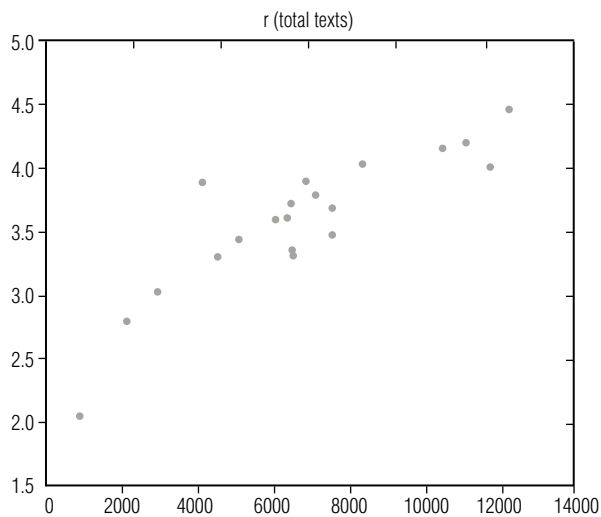


Рис. 2. Зависимость оптимального значения параметра  $r$  от количества сообщений

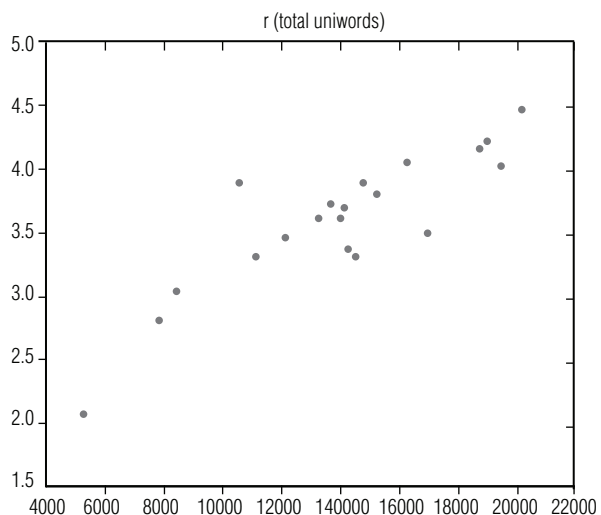


Рис. 3. Зависимость оптимального значения параметра  $r$  от количества уникальных слов в корпусе

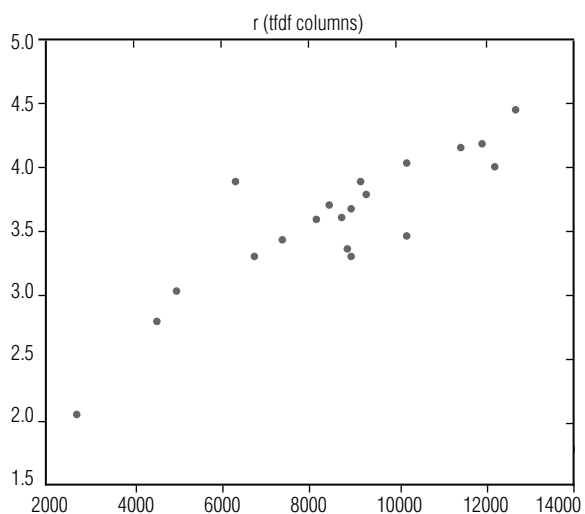


Рис. 4. Зависимость оптимального значения параметра  $r$  от количества столбцов в матрице TF-IDF

$o$  – размерность выходного вектора,  $hidden$  – функция активации нейронов скрытого слоя,  $output$  – функция активации нейронов выходного слоя.

**Модель множественной линейной регрессии** имеет следующий вид:

$$p_8 = \beta_0 + \beta_1 p_1 + \beta_2 p_2 + \dots + \beta_7 p_7 + \varepsilon, \quad (10)$$

где  $\varepsilon$  – случайная составляющая, ошибка;

$\beta_i$  – неизвестные параметры.

Оценка неизвестных параметров  $\tilde{\beta}_i$  модели (10) производится методом наименьших квадратов. Для тестирования качества модели применялась процедура скользящего контроля по отдельным объектам (leave-one-out CV) [14, 15]: 19 наблюдений, где каждое наблюдение содержит значения параметров  $p_1, p_2, \dots, p_8$ , использовались как обучающая выборка для построения модели множественной линейной регрессии, 1 наблюдение использовалось для контроля – прогнозирования параметра  $r$ .

С учетом того, что в коллекции имеется 20 корпусов общим объемом около 135 тысяч сообщений, было проведено 20 итераций кросс-валидации. В таблице 6 приведены результаты кросс-валидации модели множественной линейной регрессии (10).

Таблица 6.

**Результаты кросс-валидации модели множественной линейной регрессии**

$ c_i $	$R_2$	Оценка прогноза	
		$r_i$	$\tilde{r}_i$
855	0,85	2,051	2,783
2117	0,89	2,793	2,480
6056	0,90	3,599	3,326
7553	0,91	3,689	4,160
4142	0,92	3,889	3,217
2934	0,89	3,029	2,986
5093	0,90	3,441	3,631
6478	0,90	3,354	3,65
6869	0,90	3,895	3,588
6350	0,90	3,611	3,466
7097	0,91	3,787	4,159
6496	0,91	3,314	3,675
8366	0,90	4,043	3,787
11745	0,91	4,014	4,432
11106	0,89	4,203	4,057
7568	0,90	3,476	3,617
12221	0,88	4,465	4,319
10472	0,90	4,159	3,884
6467	0,90	3,721	3,616
4534	0,89	3,297	3,296

В приведенной *таблице*  $|c_i|$  – количество сообщений в корпусе  $c_i$ ;  $R^2$  – коэффициент детерминации модели, построенной по 19 наблюдениям;  $r_i$  – реальное оптимальное значение параметра кластеризации в корпусе  $c_i$ ;  $\tilde{r}_i$  – прогнозное значение.

Нейросетевая модель представлена трехслойной архитектурой нейронной сети, включающей входной слой, скрытый слой и выходной слой. Обучение нейронной сети производилось с помощью алгоритма Бройдена–Флетчера–Гольдфарба–Шанно (BFGS), который позволяет минимизировать сумму квадратов ошибок (*sos*).

Для использования нейросетевой модели проводится предварительная обработка исходных данных, которая заключается в масштабировании каждой входной и выходной переменной по формуле (11), таким образом, чтобы все значения переменной принадлежали интервалу  $[0, 1]$ :

$$\delta = \frac{1}{p_i^{\max} - p_i^{\min}}, \quad (11)$$

$$p'_i = 0 - \delta \cdot p_i^{\min} + \delta \cdot p_i,$$

где  $p_i^{\max}$ ,  $p_i^{\min}$  – минимальное и максимальное значения переменной  $p_i$ ;

$p'_i$  – масштабированная переменная.

В *таблице 7* представлены результаты кросс-валидации нейросетевой модели с архитектурой (MLP *i-h-o*, *hidden*, *output*).

В *таблице 8* представлено сравнение показателей качества алгоритма, полученных на оптимальных значениях параметра кластеризации  $r$ , и на значениях, спрогнозированных по двум моделям соответственно.

Анализ полученных результатов позволяет сделать следующие выводы.

Значения параметра кластеризации  $r$ , полученные с помощью нейросетевой модели, позволяют повысить качество работы алгоритма и приблизиться к оптимальным показателям с учетом заданных настроек параметров алгоритма.

Результаты численного эксперимента подтвердили тот факт, что предложенный алгоритм, с одной стороны, способен классифицировать сообщения как семантические дубликаты, а с другой стороны – объединять найденные дубликаты в группы, основываясь лишь только на частотных характеристиках корпусов и текстов.

Таблица 7.

**Результаты кросс-валидации нейросетевой модели**

$ c_i $	Конфигурация сети MLP	$R^2$	Оценка прогноза	
			$r_i$	$\tilde{r}_i$
855	7-12-1, log, log	0,97	2,051	2,818
2117	7-7-1, exp, exp	0,97	2,793	2,778
6056	7-6-1, tanh, tanh	0,97	3,599	3,597
7553	7-8-1, tanh, ident	0,85	3,689	3,732
4142	7-7-1, tanh, log	0,86	3,889	3,662
2934	7-4-1, ident, ident	0,88	3,029	2,992
5093	7-10-1, log, tanh	0,80	3,441	3,585
6478	7-6-1, exp, tanh	0,96	3,354	3,444
6869	7-8-1, ident, log	0,75	3,895	3,855
6350	7-12-1, tanh, log	0,90	3,611	3,617
7097	7-12-1, exp, ident	0,98	3,787	3,785
6496	7-9-1, exp, exp	0,97	3,314	3,494
8366	7-11-1, tanh, exp	0,92	4,043	3,916
11745	7-11-1, log, ident	0,85	4,014	4,113
11106	7-5-1, exp, log	0,93	4,203	4,203
7568	7-10-1, ident, tanh	0,90	3,476	3,539
12221	7-10-1, exp, log	0,95	4,465	4,202
10472	7-5-1, tanh, log	0,91	4,159	4,004
6467	7-4-1, exp, exp	0,95	3,721	3,720
4534	7-4-1, log, tanh	0,92	3,297	3,286

Таблица 8.

**Сравнение показателей качества алгоритмов**

Оптимальное значение $r_i$					
	$P$	$R$	$F$	$ARI$	$AMI$
Мин.	0,66	0,62	0,67	0,67	0,69
Макс.	0,93	0,91	0,84	0,84	0,90
Среднее	0,77	0,73	0,75	0,74	0,79
Множественная линейная регрессия					
	$P$	$R$	$F$	$ARI$	$AMI$
Мин.	0,29	0,39	0,44	0,43	0,68
Макс.	0,88	0,95	0,82	0,81	0,84
Среднее	0,68	0,71	0,67	0,67	0,77
Нейросетевая модель					
	$P$	$R$	$F$	$ARI$	$AMI$
Мин.	0,55	0,63	0,64	0,64	0,69
Макс.	0,86	0,95	0,84	0,84	0,90
Среднее	0,72	0,74	0,73	0,72	0,79

### Заключение

В данной статье приведен алгоритм поиска семантических дубликатов в коротких новостных сообщениях, в основу которого положена идея векторной модели семантики [7]. При таком подходе каждое новостное сообщение рассматривается как точка в многомерном пространстве.

Для оценки качества введены метрики, которые оценивают способность алгоритма классифицировать сообщения как семантические дубликаты и способность объединять найденные дубликаты в группы.

Установлено, что качество алгоритма сильно зависит от параметра кластеризации  $r$ . В статье предложены модели, которые позволяют прогно-

зировать параметр  $r$  на основе характеристик исследуемого корпуса текстов.

Разработанный алгоритм показал вполне приемлемое качество работы.

Предполагается, что улучшение качества работы алгоритма может быть достигнуто за счет использования методов, учитывающих контекст, например, word2vec и doc2vec [16].

Для практического применения предложенного алгоритма также требуется разработать метод оптимизации, который позволит сократить время работы алгоритма и уменьшить требования к памяти. В текущей реализации алгоритма требования ко времени и памяти растут как квадрат от числа сообщений в корпусе текстов. ■

### Литература

1. Волков Д., Гончаров С. Российский медиа-ландшафт: телевидение, пресса, Интернет. [Электронный ресурс] (дата обращения 14.10.2015).
2. Rangrej A., Kulkarni S., Tendulkar A.V. Comparative study of clustering techniques for short text documents // Proceedings of the 20th International World Wide Web Conference (WWW 2011). Hyderabad, India, 28 March – 01 April 2011. P. 111–112.
3. Errecalde M.L., Ingaramo D.A., Rosso P. A new AntTree-based algorithm for clustering short-text corpora // Journal of Computer Science and Technology. 2010. Vol. 10. No. 1. P. 1–7.
4. Petersen H., Poon J. Enhancing short text clustering with small external repositories // Proceedings of the 9th Australasian Data Mining Conference (AusDM'11). Ballarat, Australia, 01–02 December 2011. P. 79–89.
5. Кириченко К.М., Герасимов М. Б. Обзор методов кластеризации текстовой информации. [Электронный ресурс]: <http://www.dialog-21.ru/en/digest/2001/articles/kirichenko/> (дата обращения 17.01.2017).
6. Зеленков Ю.Г., Сеголович И.В. Сравнительный анализ методов определения нечетких дубликатов для Web-документов // Труды 9-й Всероссийской научной конференции «Электронные библиотеки: перспективные методы и технологии, электронные коллекции» (RCDL'2007). Переславль-Залесский, Россия. 15–18 октября 2007 г. С. 166–174.
7. Turney P.D., Pantel P. From frequency to meaning: Vector space models of semantics // Journal of Artificial Intelligence Research. 2010. No. 37. P. 141–188.
8. Interpreting TF-IDF term weights as making relevance decisions / H.C. Wu [et al.] // ACM Transactions on Information Systems. 2008. Vol. 26. No. 3. P. 13.1–13.37.
9. Прикладная статистика. Классификация и снижение размерности / С.А. Айвазян и [др.]. М.: Финансы и статистика, 1989.
10. Воронцов К.К. Лекции по алгоритмам кластеризации и многомерного шкалирования. [Электронный ресурс]: <http://www.ccas.ru/voron/download/Clustering.pdf> (дата обращения 28.09.2016).
11. Hubert L., Arabie P. Comparing partitions // Journal of Classification. 1985. No. 2. P. 193–218.
12. Vinh N.X., Epps J., Bailey J. Information theoretic measures for clusterings comparison: Variants, properties, normalization and correction for chance // Journal of Machine Learning Research. 2010. No. 11. P. 2837–2854.
13. Соколов Е. Семинары по выбору моделей. [Электронный ресурс]: [http://www.machinelearning.ru/wiki/images/1/1c/Sem06\\_metrics.pdf](http://www.machinelearning.ru/wiki/images/1/1c/Sem06_metrics.pdf) (дата обращения 17.01.2017).
14. Kohavi R. A study of cross-validation and bootstrap for accuracy estimation and model selection // Proceedings of the Fourteenth International Joint Conference on Artificial Intelligence (IJCAI 95). Montreal, Quebec, Canada, 20–25 August 1995. Vol. 2. P. 1137–1145.
15. Refaeilzadeh P., Tang L., Liu H. Cross-validation // Encyclopedia of Database Systems. Springer, 2009. P. 532–538.
16. Шурига Л. Современные методы анализа тональности текста. [Электронный ресурс]: <http://datareview.info/article/sovremennyye-metodyi-analiza-tonalnosti-teksta/> (дата обращения 01.02.2017).